

京都大学工学部 正員 吉川 和宏  
 京都大学工学部 正員 小林 葉司  
 京都大学大学院 学生員 ○植立津 和宏

### 1.はじめに

近年、社会経済活動の活発化多様化は伴って、大都市における業務交通は、着実に増加してきてる。しかしながら、業務交通のための施策が十分でないため、都心部における交通混雑は、依然として悪化してきてる。このような業務交通に伴う交通問題を根本的に解決してゆくための都市計画。ある。1)都市交通計画の果す役割は、ますます重要になってきてる。そこで、本研究では、業務交通の効率化という問題とりあげ、図-1に示すようなアプローチを行なうことにより、都市交通計画や各種の施設計画の策定のための有効な計画情報を作成することとする。従来から、業務交通、流动メカニズムは複雑で、その流动構造と本質的に表現しうるような推計モデルの作成は、通常等の他の目的の交通と比較して、困難であると言われてる。本研究では、業務交通は、業務活動間の社会経済的な結びつきの反映であるという認識。もとに、このような業務活動間の関連関係を表わす「結合関係」の概念に基づいて業務交通量推計モデルを実証的に作成することとする。さらに、本モデルを大阪都市圏に適用して、道路網や鉄道網の整備案、さらには土地利用計画案が業務交通の効率化に及ぼす影響や効果について実証的検討を行うこととする。

### 2.「結合関係」の説明

大都市圏の個々の地域地区には各種の社会経済活動が集中しておる。これらは活動間の機能的な関連関係を反映して地域地区間に交通流動が生じてる。本研究では、業務交通は、3地域地区の業務活動間の社会経済的な結びつきの程度を図-2に示すような「結合関係」という概念を用いて把握することとした。

### 3.業務交通量推計モデルの作成

#### 3-1. 発生結合数推計モデル

原単位モデル(結合数/従業人口)を用いて、各ベイスゾーンに発生する総結合数を推計する。この結合数の発生には、発事業所の業種、規模、立地場所が大きな規定要因であることが明らかにわかった。表-1に示すように、業種・規模・地城別に原単位を設定した。

#### 3-2. 分布結合数推計モデル

本モデルは、前アプローチで推計した発生結合数を入力することによりゾーン間の分布結合数を求めるためのモデルである。「分布結合数」各ゾーンの発生結合数、発生結合数の吸引要因として、着ゾーンの社会経済指標、さらには着ゾーン間の距離と密接な関係があり、その関係は時間的にも変動が少ないと仮説1)と、その仮説に基づいて、式(1)に示すようなモデルを作成した。 $R_{ij} = \alpha^i E_j G_i \cdot \exp(\beta^i D_{ij})$  —— (1) ここで  $E_j$  は着ゾーン

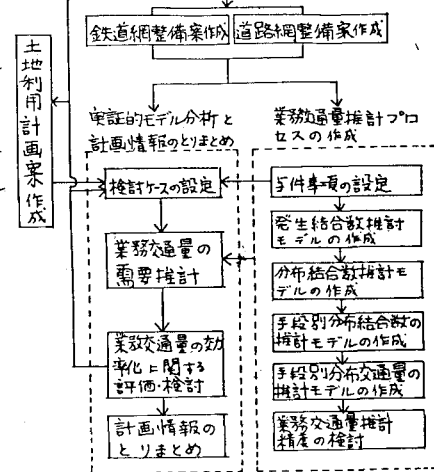


図-1 アプローチの概要

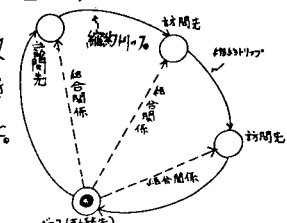


図-2 結合関係の概念  
 ①結合関係とはベースと各都市間との結びつきです。  
 ②活動トリップとは、図のようなトリップ(運営者が主に石崎の訪問先間のトリップ)です。

表-1 総結合数単位

| 業種    | 原単位<br>(従業人口) | 原単位<br>(従業人口) | RMS誤差    | 相関係数    |
|-------|---------------|---------------|----------|---------|
| 企 事   | 0.832         | 0.982         | 1013.118 | 0.97559 |
| 製 造   | 0.569         | 0.321         | 1757.547 | 0.95337 |
| 卸 手   | 1.063         | 1.083         | 1414.411 | 0.98850 |
| 小 商   | 0.851         | 1.083         | 2872.609 | 0.98463 |
| 小 工   | 0.470         | 0.714         | 3066.104 | 0.89478 |
| 事 行   | 0.571         | 0.503         | 1211.902 | 0.92709 |
| 事 行   | 0.481         | 0.289         | 1211.501 | 0.97090 |
| 小 事 行 | 0.571         | 0.693         | 2458.063 | 0.97193 |

表-2 分布結合数推計モデル

| 登録地 | 登録地 | 登録地 | 説明変数  | $\alpha$              | $\beta$ | 重相関係数 |
|-----|-----|-----|-------|-----------------------|---------|-------|
| 新 開 | 新 開 | 新 開 | 登録地人口 | $5.0 \times 10^{-2}$  | -0.071  | 0.65  |
| 新 開 | 新 開 | 新 開 | 登録地人口 | $3.1 \times 10^{-2}$  | -0.182  | 0.80  |
| 新 開 | 新 開 | 新 開 | 登録地人口 | $5.65 \times 10^{-2}$ | -0.025  | 0.86  |
| 新 開 | 新 開 | 新 開 | 登録地人口 | $4.75 \times 10^{-2}$ | -0.025  | 0.80  |
| 新 開 | 新 開 | 新 開 | 登録地人口 | $9.32 \times 10^{-2}$ | -0.181  | 0.73  |
| 新 開 | 新 開 | 新 開 | 登録地人口 | $9.73 \times 10^{-2}$ | -0.140  | 0.72  |
| 新 開 | 新 開 | 新 開 | 登録地人口 | $6.00 \times 10^{-2}$ | -0.077  | 0.80  |
| 新 開 | 新 開 | 新 開 | 登録地人口 | $6.30 \times 10^{-2}$ | -0.139  | 0.86  |

ン)の社会経済指標、 $G_{ij}$ はゾーンiの業種と。発生結合数、 $D_{ij}$ はゾーンi,j間の空間距離、 $K_{ij}^t$ は業種t、ゾーンi,j間の分布結合数、 $\alpha^t, \beta^t$ は定数である。表-2には作成した分布結合数推計モデルを示して-3。

### 3-3. 年段別分布結合数推計モデル

本モデルは、前プロセスで推計した分布結合数を入力することにより式(2)によつて年段別分布結合数を推計するものである。 $K_{ij}^t = P_{ij}^t \cdot K_{ij}^t$  ——(2)

ここで $K_{ij}^t$ は、業種t、ゾーンi,j間の分布結合数、 $P_{ij}^t$ は、業種t、ゾーンi,j間のモードtの機関分担率でありゾーンペア特性、ゾーン特性、結合関係の特性の関数として記述される。本研究では、数量化理論II類に依り、表-3に示すようなモデルを作成した。

### 3-4. 年段別分布交通量推計モデル

本モデルは、以上で推計した分布結合数と実際の分布トリップ数に変換するためのモデルである。本研究では、トリップメーターが、図-2に示すように複数回の訪問先と巡回することにより、トリップ所要時間と縮約することを縮約と呼ぶこととし、図-2に示すような縮約トリップが縮約を起すことにより縮約される時間と関係があると考えた。そこで、ゾーン間の縮約トリップを推計するモデルとして、表-4に示すモデルを提案した。なおこれを先立ち、以下の仮説が成立することが、前提条件とする。①縮約トリップ数と縮約時間、時間間に開故関係が成立するとともに、その開故関係が時間的にも安定して-3。(仮説2)②本モデルを提案した背景として、交通施設が整備されれば、縮約トリップペターンが変化することを前提としており、このような仮説が実証的に検証されたこと。つまり、タイムバッファ(余裕があり)、交通施設整備によりトリップの縮約数が増加する可能性が存在すること。③1つトリップケーン中で、業務目的以外の目的のトリップが存在しても、それは他の業務目的のトリップにあらるルート上もしくはその近傍に存在する可能性が高い。(仮説4)④縮約トリップには特定の方向性がある。(仮説5)なお、以上のモデル作成の際前提となる仮説に関する昭和45年、55年の2回のペーソントリップ調査結果に基づいて検証したが、その詳細は、講演時に発表する。

### 4. 実証分析

ここでは、大阪都市圏を対象として、業務交通効率化のための施策として、道路網案、鉄道網案、土地利用計画案をとりあげ、これらの施策が業務交通効率化に及ぼす効果を評価検討することとする。計画変数としては、図-3に示すように道路網案13ケース、鉄道網案4ケース、土地利用案3ケース想定し、これら3計画変数を組み合わせることにより合計136通りの計算ケースを想定した。さらに計画変数の望ましさを評価検討する評価基準として表-5に示す尺度をとりあげた。図-3は、分析結果一部であるが、二つ結果から、湾岸線・中央環状線、都市高速放射幹線を整備すると同時に、南大阪地域を重点的に開発していくことが、業務交通効率化に有効であることが読みとれる。その他の結果については、講演時に発表する。

(参考文献) 吉川昌介、林直由、福澤“大阪都市域業務交通効率化関連システム分析”関西支部年次学術講演会 昭和48年度

表-3 機関分担モデル

| パラメータ | カテゴリ      | 値       | 参考文献    |
|-------|-----------|---------|---------|
| 目的    | 居住地       | 0.4575  | 0.8176  |
| 目的    | 通勤地       | -0.2842 | -0.4248 |
| 着地    | 通勤地       | 1.9920  | 0.2165  |
| 着地    | 通勤地       | -0.6214 | -0.5202 |
| 距離    | 2km未満     | 0.7911  | -0.2966 |
| 距離    | 3km~6km   | 0.3617  | -0.7620 |
| 距離    | 6km~9km   | -0.6810 | 0.5556  |
| 時間    | 20~5      | -       | 0.2534  |
| 時間    | 5~0       | -       | -0.2504 |
| 時間    | 0~5       | -       | 0.2592  |
| 時間    | 5~        | -       | -0.2361 |
| セグメント | 0.80~0.85 | -       | -       |
| 時間    | 0.80~1.00 | 0.2290  | 0.5764  |
| 時間    | 1.00~1.20 | -0.1054 | -0.2030 |
| 時間    | 1.20~     | 0.2053  | -0.2087 |
| セグメント | -15~-4    | -       | -0.6809 |
| 時間    | -4~0      | -       | 0.5646  |
| 時間    | 0~4       | -       | -0.6225 |
| 時間    | 4~        | -       | -0.1077 |
| 駆逐度   | ~10       | 0.5853  | -0.6837 |
| 駆逐度   | 10~20     | 0.2238  | 0.5589  |
| 駆逐度   | 20~40     | -0.2220 | 0.2080  |
| 駆逐度   | 40~       | -       | -       |
| 駆逐度   | ~10       | 0.5245  | 0.5281  |
| 駆逐度   | 10~30     | -0.2149 | -0.1449 |
| 駆逐度   | 30~40     | 0.1901  | 0.0368  |
| 駆逐度   | 40~       | -0.1760 | -0.1697 |
| 駆逐度   | 駆逐度       | 0.7040  | 0.7379  |

表-4 伸縮的トリップ数推計式

| 業種名   | 式  | 式   | 式   | 相関     |
|-------|--|---|---|--------|
| 運送業   | $X_{ij}^t = 9.047 \times 10^{-6} D_{ij}^t D_{ij}^t \exp(0.22348 \cdot \delta_{ij}^t)$  |   |   | 0.8987 |
| 販賣業   | $X_{ij}^t = 9.945 \times 10^{-6} D_{ij}^t D_{ij}^t \exp(0.15578 \cdot \delta_{ij}^t)$  |   |   | 0.9882 |
| 卸売業   | $X_{ij}^t = 0.935 \times 10^{-6} D_{ij}^t D_{ij}^t \exp(0.18488 \cdot \delta_{ij}^t)$  |   |   | 0.9881 |
| 小売業   | $X_{ij}^t = 6.031 \times 10^{-6} D_{ij}^t D_{ij}^t \exp(0.24242 \cdot \delta_{ij}^t)$  |   |   | 0.9110 |
| サービス業 | $X_{ij}^t = 1.045 \times 10^{-6} D_{ij}^t D_{ij}^t \exp(0.18333 \cdot \delta_{ij}^t)$  |   |   | 0.9707 |
| 卸売業   | $X_{ij}^t = 4.601 \times 10^{-6} D_{ij}^t D_{ij}^t \exp(0.24552 \cdot \delta_{ij}^t)$  |   |   | 0.8600 |
| 建設業   | $X_{ij}^t = 20.031 \times 10^{-6} D_{ij}^t D_{ij}^t \exp(0.14959 \cdot \delta_{ij}^t)$ |   |   | 0.7462 |
| 自動車   | $X_{ij}^t = 1.948 \times 10^{-6} D_{ij}^t D_{ij}^t \exp(0.11548 \cdot \delta_{ij}^t)$  |   |   | 0.8713 |
| 卸売業   | $X_{ij}^t = 2.247 \times 10^{-6} D_{ij}^t D_{ij}^t \exp(0.11876 \cdot \delta_{ij}^t)$  |   |   | 0.9551 |
| 小売業   | $X_{ij}^t = 5.461 \times 10^{-6} D_{ij}^t D_{ij}^t \exp(0.11411 \cdot \delta_{ij}^t)$  |   |   | 0.9267 |
| サービス業 | $X_{ij}^t = 2.243 \times 10^{-6} D_{ij}^t D_{ij}^t \exp(0.08259 \cdot \delta_{ij}^t)$  |   |   | 0.9467 |
| 卸売業   | $X_{ij}^t = 26.223 \times 10^{-6} D_{ij}^t D_{ij}^t \exp(0.11453 \cdot \delta_{ij}^t)$ |   |   | 0.7467 |
| 付帯    | $d_{ij}^t = d_{ij} + d_{ij} - d_{ij}$  | $d_{ij} = d_{ij} - d_{ij}$                    | $d_{ij} = d_{ij} - d_{ij}$                    | 付帯時間   |
| 付帯    | $d_{ij} = \frac{1}{d_{ij}} (d_{ij} + d_{ij} - d_{ij})$                                 | $d_{ij} = \frac{1}{d_{ij}} (d_{ij} - d_{ij})$ | $d_{ij} = \frac{1}{d_{ij}} (d_{ij} - d_{ij})$ | 付帯時間   |

表-5 評価尺度

| 評価尺度 | 評価尺度 | 評価尺度 | 評価尺度 | 評価尺度 | 評価尺度 | 評価尺度 | 評価尺度 |
|------|------|------|------|------|------|------|------|
| 評価尺度 |

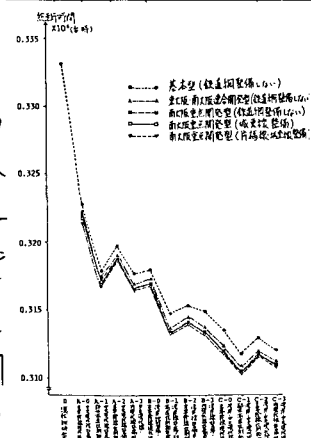


図-3 時系列時間